

УДК 532.5

О ВЛИЯНИИ ГОРИЗОНТАЛЬНЫХ РАЗМЕРОВ ВНУТРЕННИХ ВОДОЕМОВ НА ТОЛЩИНУ ВЕРХНЕГО ПЕРЕМЕШАННОГО СЛОЯ¹

© 2021 г. Д. С. Гладских^{a, b, d, *}, В. М. Степаненко^{b, d}, Е. В. Мортиков^{b, c, d}

^aИнститут прикладной физики РАН, Нижний Новгород, 603950 Россия

^bМосковский государственный университет им. М. В. Ломоносова, Москва, 119991 Россия

^cИнститут вычислительной математики им. Г.И. Марчука РАН, Москва, 119333 Россия

^dМосковский центр фундаментальной и прикладной математики, Москва, 119234 Россия

*e-mail: daria.gladskikh@gmail.com

Поступила в редакцию 05.12.2019 г.

После доработки 17.03.2020 г.

Принята к публикации 24.09.2020 г.

Проведено исследование влияния горизонтальных размеров внутренних водоемов (озер и водохранилищ) на протекающие в них процессы перемешивания. В качестве инструментов для проведения расчетов выбраны трехмерная гидростатическая модель и одномерная модель LAKE, основанная на осреднении трехмерных уравнений по горизонтальному сечению водоема. Для описания процессов вертикального обмена в обеих моделях использовалось k – ϵ -замыкание. В модели LAKE реализован учет гравитационных колебаний за счет параметризации градиента давления и горизонтальной вязкости. Проведена верификация моделей на примере численного эксперимента Като–Филлипса и серия численных экспериментов, демонстрирующих эффект горизонтального размера водного объекта на глубину перемешанного слоя. Подтверждена необходимость учета горизонтальных размеров водного объекта при моделировании вертикального распределения температуры в озерах и водохранилищах с размерами много меньше внутреннего радиуса деформации Россби.

Ключевые слова: математическое моделирование, внутренние водоемы, турбулентность, сейши.

DOI: 10.31857/S0321059621020061

ВВЕДЕНИЕ

Внутренние водоемы (озера и водохранилища) занимают 1.3–1.8% общей площади материков [16, 21], имеют большое значение в социально-экономическом развитии соответствующих регионов и являются объектом исследования во многих задачах гидрологии, экологии, метеорологии и климатологии. Термогидродинамические характеристики озер и водохранилищ оказывают существенное влияние на ряд процессов региональной циркуляции атмосферы. Помимо этого, изменения температуры в озерах и водохранилищах могут способствовать процессам эвтрофикации [3, 6, 7], т.е. повышению биологической продуктивности водных объектов, в частности в результате роста биомассы диатомовых и вредоносных сине-зеленых водорослей, что может приводить к массовому замору рыбы и ухудшению качества воды.

Также нельзя не отметить роль внутренних водоемов в изменении климата и реакции водных объектов на эти изменения [1, 13, 28]. В регионах с большим количеством озер и водохранилищ наблюдается выраженное потепление климата [12], в связи с этим отмечается более ранний период вскрытия льда и более короткая продолжительность ледостава. Для учета взаимодействия внутренних водоемов и атмосферы необходимо включать в климатические модели расчет термогидродинамических и биологических характеристик вод суши. Важно корректное воспроизведение термогидродинамики озер в мезомасштабных моделях атмосферы, где пространственное разрешение достигает нескольких километров, что меньше по сравнению с характерными горизонтальными размерами крупных внутренних водоемов.

Важный аспект при моделировании термогидродинамики внутренних водоемов – правильное описание процессов перемешивания, в том числе связанных с гравитационными (сейшевыми) колебаниями. Сейши возникают вследствие горизонтального перераспределения массы и дей-

¹ Работа выполнена при финансовой поддержке РФФИ (проекты 17-05-41117, 18-05-00292, 18-35-00602). Расчеты с применением трехмерной термогидродинамической модели выполнены при поддержке РФФИ (проект № 17-17-01210).

ствия градиента гидростатического давления и не принимаются во внимание в большинстве существующих одномерных (по вертикали) моделей. Однако при моделировании озер и водохранилищ с горизонтальными размерами, существенно меньшими, чем внутренний радиус деформации Россби L_R , сила Кориолиса становится пренебрежимо малой в сравнении с силой горизонтального градиента давления [10], а модели, не учитывающие сейши, не позволяют получить корректное описание поля скорости в подобных водоемах, что может приводить к заметной ошибке толщины перемешанного слоя (речь идет о завышении данного значения, особенно в период летней стратификации озер и водохранилищ [27]). Для умеренных широт L_R составляет 2–3 км, и следует ожидать, что сейши будут значимым образом влиять на процессы перемешивания в относительно небольших озерах, которые составляют большую часть внутренних водоемов суши [5].

Задача настоящего исследования — оценка влияния горизонтальных размеров водоема на процессы перемешивания в озерах и водохранилищах, в частности на толщину перемешанного слоя. Для упрощения анализа рассмотрены водоемы идеализированной формы и с постоянным по времени атмосферным воздействием.

МЕТОДЫ ОПИСАНИЯ ПРОЦЕССОВ ТЕРМОГИДРОДИНАМИКИ ВНУТРЕННИХ ВОДОЕМОВ

К настоящему времени созданы математические модели различной пространственной размерности, позволяющие рассчитать распределение термогидродинамических величин во внутренних водоемах. Наиболее детальное описание дают трехмерные модели [4, 13, 18], основа которых — осредненная по Рейнольдсу система уравнений термогидродинамики в приближении Буссинеска и гидростатики [2]. Именно такая система рассматривается в настоящей работе для описания циркуляции термически стратифицированного внутреннего водоема. Пренебрежение эффектами коротковолновой радиации справедливо для небольших временных масштабов в теплое время года ночью и в холодное время, когда воздействие ветра на гидродинамику водоема практически отсутствует. Таким образом, постановка задачи в настоящей работе — относительно грубое приближение к условиям в природе, однако она позволяет в чистом виде выделить влияние горизонтальных размеров водного объекта на вертикальное распределение температуры, которое, очевидно, имеет место и в реальных объектах. В указанных условиях система уравнений принимает следующий вид:

$$\frac{\partial u}{\partial t} = -A(u) + D_H(u, \lambda_m) + D_z(u, K_m + v) - g \frac{\partial \eta}{\partial x} - \frac{g}{\rho_0} \frac{\partial}{\partial x} \int_z^\eta \rho dz' + f v, \quad (1)$$

$$\frac{\partial v}{\partial t} = -A(v) + D_H(v, \lambda_m) + D_z(v, K_m + v) - g \frac{\partial \eta}{\partial y} - \frac{g}{\rho_0} \frac{\partial}{\partial y} \int_z^\eta \rho dz' - f u, \quad (2)$$

$$\nabla \cdot \mathbf{u} = \frac{\partial u}{\partial x} + \frac{\partial v}{\partial y} + \frac{\partial w}{\partial z} = 0, \quad (3)$$

$$\frac{\partial T}{\partial t} = -A(T) + D_H(T, \lambda_h) + D_z(T, K_h + \chi'), \quad (4)$$

$$\rho = \rho(T), \quad (5)$$

$$\frac{\partial \eta}{\partial t} = w. \quad (6)$$

Здесь $\mathbf{u} = (u, v, w)$ — вектор скорости; η — отклонение свободной поверхности от равновесного состояния; T — температура; ρ — плотность; $K_m(\lambda_m)$ и $K_h(\lambda_h)$ — коэффициенты вертикальной (горизонтальной) турбулентной вязкости и температуропроводности соответственно; v, χ' — коэффициенты молекулярной вязкости и температуропроводности; f — параметр Кориолиса (принимается постоянным); g — ускорение свободного падения; z — вертикальная координата, проходящая от дна водоема $z = -H(x, y)$ до поверхности; t — время.

В системе уравнений (1)–(6) $A(q)$ — оператор адвекции:

$$A(q) = \frac{\partial u q}{\partial x} + \frac{\partial v q}{\partial y} + \frac{\partial w q}{\partial z},$$

а $D_H(q, \lambda)$ и $D_z(q, K)$ — операторы горизонтальной и вертикальной диффузии с коэффициентами λ и K соответственно:

$$D_H(q, \lambda) = \frac{\partial}{\partial x} \lambda \frac{\partial q}{\partial x} + \frac{\partial}{\partial y} \lambda \frac{\partial q}{\partial y},$$

$$D_z(q, K) = \frac{\partial}{\partial z} K \frac{\partial q}{\partial z}.$$

Для изучения гидрологических и термодинамических характеристик внутренних водоемов сезонных, годовых и климатических масштабов на сегодняшний день наиболее подходят одномерные модели, отличающиеся вычислительной простотой. Одномерную систему уравнений, описывающую вертикальное распределение импульса и тепла, можно получить осреднением приведенных выше трехмерных уравнений (1)–(6) по горизонтальному сечению водоема [11, 26]:

$$\frac{\partial \bar{T}}{\partial t} = \frac{1}{A} \frac{\partial}{\partial z} \left(A (K_h + \chi') \frac{\partial \bar{T}}{\partial z} \right), \quad (7)$$

$$\begin{aligned} \frac{\partial \bar{u}}{\partial t} = & - \left(\frac{1}{\rho} \frac{\partial p}{\partial x} \right) + \frac{1}{A} \frac{\partial}{\partial z} \left(A (K_m + \nu) \frac{\partial \bar{u}}{\partial z} \right) - \\ & - \frac{1}{A} \frac{dA}{dz} \left((K_m + \nu) \frac{\partial \bar{u}}{\partial z} \right)_{\text{bot}} + \overline{D_H(u, \lambda_m)} + f \bar{v}, \end{aligned} \quad (8)$$

$$\begin{aligned} \frac{\partial \bar{v}}{\partial t} = & - \left(\frac{1}{\rho} \frac{\partial p}{\partial y} \right) + \frac{1}{A} \frac{\partial}{\partial z} \left(A (K_m + \nu) \frac{\partial \bar{v}}{\partial z} \right) - \\ & - \frac{1}{A} \frac{dA}{dz} \left((K_m + \nu) \frac{\partial \bar{v}}{\partial z} \right)_{\text{bot}} + \overline{D_H(v, \lambda_m)} - f \bar{u}. \end{aligned} \quad (9)$$

Здесь $A(z)$ – площадь горизонтального сечения водоема, p – гидростатическое давление, горизонтальная черта означает осреднение по $A(z)$. Здесь в соответствии со сказанным выше поток тепла на нижней границе положен равным 0, а поток импульса считается постоянным на границе каждого горизонтального сечения (величины, обозначенные индексом “bot”).

При записи систем уравнений (1)–(6) и (7)–(9) предположена также справедливость градиентного приближения для описания турбулентных потоков. Для задач настоящей работы представляется важным, чтобы вертикальное перемешивание в трехмерной и одномерной моделях представлялось схожим образом. Поэтому для расчета коэффициентов K_m и K_h в обеих моделях далее используется двухпараметрическое k – ε –замыкание в стандартной формулировке [8, 20]. Оно основано на прогностических уравнениях для кинетической энергии турбулентности (ТКЭ, k) и скорости ее диссипации ε :

$$\frac{\partial k}{\partial t} = \frac{\partial}{\partial z} \left(\frac{K_m}{\delta_k} + \nu \right) \frac{\partial k}{\partial z} + P + B - \varepsilon, \quad (10)$$

$$\frac{\partial \varepsilon}{\partial t} = \frac{\partial}{\partial z} \left(\frac{K_m}{\delta_\varepsilon} + \nu \right) \frac{\partial \varepsilon}{\partial z} + \frac{\varepsilon}{k} (C_{1\varepsilon} P - C_{2\varepsilon} \varepsilon + C_{3\varepsilon} B), \quad (11)$$

$$K_m = C_\varepsilon \frac{k^2}{\varepsilon}, \quad (12)$$

$$K_h = C_{\varepsilon T} \frac{k^2}{\varepsilon} = \frac{C_{\varepsilon T}}{C_\varepsilon} K_m. \quad (13)$$

Здесь слагаемое P соответствует генерации энергии турбулентности за счет сдвига скорости; B описывает генерацию или потребление энергии за счет действия сил плавучести; $\delta_k, \delta_\varepsilon$ – турбулентные числа Шмидта для ТКЭ и скорости диссипации соответственно; $C_{1\varepsilon}, C_{2\varepsilon}, C_{3\varepsilon}$ – эмпирические константы; C_ε и $C_{\varepsilon T}$ – функции устойчивости для импульса и скалярных величин, полагаемые постоянными.

Система уравнений одномерной модели (7)–(13) не замкнутая, параметризации требуют первое, третье и четвертое слагаемые в правой части (8)–(9). Трехмерная и одномерная системы уравнений дополняются необходимыми граничными условиями.

ПАРАМЕТРИЗАЦИЯ ГРАДИЕНТА ДАВЛЕНИЯ И ГОРИЗОНТАЛЬНОЙ ВЯЗКОСТИ ДЛЯ ОДНОМЕРНОЙ МОДЕЛИ

Представлен вывод параметризации горизонтального градиента давления и силы горизонтальной вязкости для двухмерного водоема без учета силы Кориолиса. Случай трехмерного водоема с учетом вращения Земли и без горизонтальной вязкости рассмотрен в [10]. Для учета сейш используется метод, основанный на явном воспроизведении первой горизонтальной моды. Пусть жидкость состоит из N слоев (рис. 1) постоянной плотности ρ_i ($\rho_{i+1} > \rho_i$). Толщину каждого слоя h_i запишем в виде: $h_i = H_i + h_i'$ (H_i – толщина i -го слоя в состоянии покоя жидкости, h_i' – отклонение толщины, причем $|h_i'/H_i| \ll 1$, H – глубина водоема). Задача рассматривается для прямоугольника $[-L_x/2, L_x/2] \times [0, H]$. Решение этой задачи эквивалентно решению трехмерной задачи в области $[-L_x/2, L_x/2] \times [-L_y/2, L_y/2] \times [0, H]$, в которой поток импульса на поверхности направлен вдоль оси x , а компонента скорости по оси y равна 0.

Для каждого слоя можно записать следующие линеаризованные уравнения движения, неразрывности и гидростатики:

$$\frac{\partial u_i}{\partial t} = -\frac{1}{\rho_i} \frac{\partial p_i'}{\partial x} + \lambda_m \frac{\partial^2 u_i}{\partial x^2}, \quad (14)$$

$$\frac{\partial h_i'}{\partial t} + H_i \frac{\partial u_i}{\partial x} = 0, \quad (15)$$

$$p_i' = g \sum_{k=1}^N \rho_{\min(i,k)} h_k', \quad i = \overline{1, N}. \quad (16)$$

Воспользовавшись тем обстоятельством, что во внутренних водоемах энергия мод с первым горизонтальным волновым числом, как правило, преобладает в спектре внутренних колебаний [19, 25], представим решение системы (14)–(16) в виде ряда Фурье до первой гармоники и осредним результат по горизонтальному сечению, которое в данном случае есть $[-L_x/2, L_x/2]$. В результате получим:

$$\frac{\partial \bar{u}_j}{\partial t} = -\frac{\pi g}{2L_x \rho_i} \sum_{k=1}^N \rho_{\min(i,k)} \Delta_x h_k' - \frac{\pi \nu \bar{u}_j}{L_x^2}, \quad (17)$$

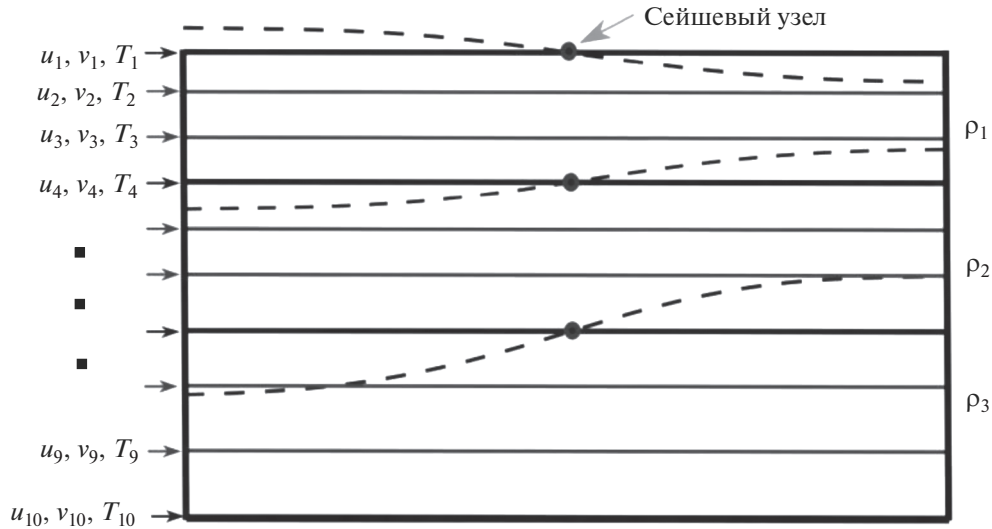


Рис. 1. Многослойное представление жидкости в параметризации сейш одномерной модели LAKE.

$$\frac{d\Delta_x \overline{h'_i}}{dt} = \frac{2\pi H_i}{L_x} \overline{u_i}, \quad i = \overline{1, N}, \quad (18)$$

$$\frac{d\Delta_x \hat{h}'_i}{dt} = \frac{2\pi H_i}{L_x} \hat{u}_i, \quad i = \overline{1, N},$$

$$\hat{u}_i = H_i^{-1} \int_{z_i}^{z_{i+1}} \overline{u} dz, \quad i = \overline{1, N}.$$

где введено обозначение $\Delta_x \overline{h}'_i$ – разность величин \overline{h}'_i , осредненным по правой $([0, L_x/2])$ и по левой $([-L_x/2, 0])$ половинам сечения [17]. Данная система связывает осредненную по горизонтали компоненту скорости со средним градиентом давления. В системе (17)–(18) вертикальное распределение переменных является кусочно-постоянным, в отличие от системы (7)–(9), которая сформулирована относительно дифференцируемых по z функций. Используем уравнения (17)–(18) для замыкания системы (7)–(9); для этого в непрерывном по вертикали профиле плотности воды $\rho = \rho[\overline{T}(z, t)]$ выделим N слоев с толщинами $H_i = z_{i+1} - z_i$, в каждом из которых плотность меняется по глубине незначительно. В каждом таком слое горизонтальный градиент давления можно рассчитать с помощью (17)–(18) с использованием в качестве \overline{u}_i осредненной по вертикали в пределах слоя горизонтальной скорости из одномерной модели $\overline{u}(z, t)$; при этом этот градиент будет иметь постоянное значение внутри каждого полуинтервала $[z_i, z_{i+1})$. Дополненная таким образом система уравнений одномерной модели записывается в следующем виде:

$$\begin{aligned} & \frac{\partial \overline{u}}{\partial t} - \frac{\partial}{\partial z} (K_m + \nu) \frac{\partial \overline{u}}{\partial z} = \\ & = -\frac{\pi g}{2L_x \rho_i} \sum_{k=1}^N \rho_{\min(i,k)} \Delta_x \overline{h}'_k - \frac{\pi \nu u_i}{L_x^2}, \quad i: z \in [z_i, z_{i+1}), \end{aligned}$$

Полученную модель можно классифицировать как 1.5-мерную, так как в ней частично учитываются эффекты горизонтальной неоднородности заданной формы; с математической точки зрения здесь присутствуют элементы уравнений в частных производных, обыкновенных дифференциальных и интегральных уравнений. В дальнейшем изложенное замыкание одномерной системы будет называться также параметризацией сейш, так как оно позволяет явно воспроизводить сейши с горизонтальным волновым номером 1.

ПОСТАНОВКА ЧИСЛЕННЫХ ЭКСПЕРИМЕНТОВ

В численных экспериментах использовалась одномерная модель LAKE (подробное описание – в [9]), дополненная параметризацией сейш. Модель развивается в МГУ им. М.В. Ломоносова и включена в последнюю версию модели деятельного слоя суши, развиваемой Институтом вычислительной математики (ИВМ) им. Г.И. Марчука РАН [2] и МГУ. Для верификации одномерной модели использовалась трехмерная гидростатическая модель, разрабатываемая в НИВЦ МГУ и ИВМ РАН на основе единого гидродинамического кода, объединяющего подходы DNS (Direct Numerical Simulation), LES (Large-Eddy Simulation) и RANS (Reynolds-Averaged Navier-Stokes) для расчета геофизических турбулентных тече-

ний [22, 23]. Численный метод решения системы уравнений (1)–(6) основан на консервативных конечно-разностных методах дискретизации на прямоугольных сетках и использовании полунейного метода для аппроксимации по времени, в котором адвективный перенос и горизонтальная диффузия описываются явными схемами.

Значения эмпирических констант в k - ϵ замыкании одномерной и трехмерной моделей согласованы с приведенными в статье [27], их выбор обосновывается, например, в работах [14, 15]. Отметим, что турбулентное число Прандтля принято константой $Pr_t = K_m/K_h = 1.25$, а константа $C_{3\epsilon}$, определяющая изменение скорости диссипации под действием сил плавучести, полагалась равной 1.14 при $B > 0$ и -0.4 при $B < 0$.

С применением одномерной и трехмерной моделей проведены следующие эксперименты: верификация на основе численной реализации классического лабораторного эксперимента Като–Филлипса [17], результаты которого служат основным материалом для калибровки турбулентных замыканий для сдвиговых течений в стратифицированной жидкости, и расчеты с идеализированными водоемами прямоугольного вертикального сечения при различных горизонтальных размерах (10 и 1000 м).

В эксперименте Като–Филлипса рассматривается однородная по горизонтали стратифицированная жидкость, а вертикальные границы отсутствуют. Начальный профиль температуры линейный, а единственным источником турбулентности считается ветер, обеспечивающий постоянный поток импульса на поверхности. В классической постановке, описанной в [17], рассматривался кольцевой резервуар, на поверхности которого создавалось напряжение трения в направлении по окружности. Внутренний и внешний диаметры составляли 152.4 и 106.7 см соответственно; таким образом, ширина канала была равна 22.8 см. Глубина резервуара составляла 28 см.

Результаты данного эксперимента хорошо описывает теоретическая формула изменения толщины перемешанного слоя во времени [24]:

$$h_{ML}(t) = \frac{Cu^*\sqrt{t}}{\sqrt{N(t=0)}} \quad (C \sim 1.05), \quad (19)$$

где h_{ML} – толщина перемешанного слоя, u^* – скорость трения на поверхности ($u^* = \sqrt{\tau/\rho_0}$).

Для численной реализации эксперимента Като–Филлипса приведенные выше уравнения одномерной и трехмерной моделей дополнены следующими граничными условиями на дне:

$$\frac{\partial T}{\partial z} = 0,$$

$$\frac{\partial v}{\partial z} = 0,$$

$$w = 0,$$

на поверхности:

$$\frac{\partial T}{\partial z} = 0,$$

$$\frac{\partial v}{\partial z} = 0,$$

$$-\rho(K_m + \nu)\frac{\partial u}{\partial z} = \tau.$$

В трехмерной модели задавались условия периодичности по горизонтальным координатам.

Для серии экспериментов с наличием вертикальных стенок трехмерная модель была дополнена боковыми граничными условиями:

$$\frac{\partial T}{\partial x}\Big|_{x=-L_x/2, L_x/2} = 0, \quad \frac{\partial T}{\partial y}\Big|_{y=-L_y/2, L_y/2} = 0,$$

$$u\Big|_{x=-L_x/2, L_x/2} = 0, \quad v\Big|_{y=-L_y/2, L_y/2} = 0,$$

$$\frac{\partial \eta}{\partial x}\Big|_{x=-L_x/2, L_x/2} = 0, \quad \frac{\partial \eta}{\partial y}\Big|_{y=-L_y/2, L_y/2} = 0.$$

Примечательно, что в одномерной модели боковые граничные условия не задаются, но первая горизонтальная мода полей скорости и давления, для которой получена параметризация сейш, удовлетворяет условиям выше.

Во всех экспериментах заданы следующие параметры:

глубина водоема – 10 м;

время расчета – 7 либо 30 дней;

начальный градиент температуры – $\partial T/\partial z = 1.5^\circ\text{C}/\text{м}$, что соответствует частоте Брента–Вайсяля (частоте плавучести) – $N = 4 \times 10^{-2} \text{ с}^{-1}$;

поток импульса на поверхности – $\tau = 10^{-2} \text{ Н}/\text{м}^2$, сила Кориолиса не учитывается.

При изложенных выше граничных условиях, параметрах эксперимента и выборе однородных по y начальных условий трехмерная задача становится двухмерной, что соответствует предположениям, используемым выше в одномерной модели.

ДИНАМИКА ТОЛЩИНЫ ПЕРЕМЕШАННОГО СЛОЯ

Обе модели в рамках численной реализации классического эксперимента Като–Филлипса продемонстрировали хорошее согласие с аналитическим решением. Что касается экспериментов с водоемами конечного размера, то продемонстрировано, что с увеличением продольного раз-

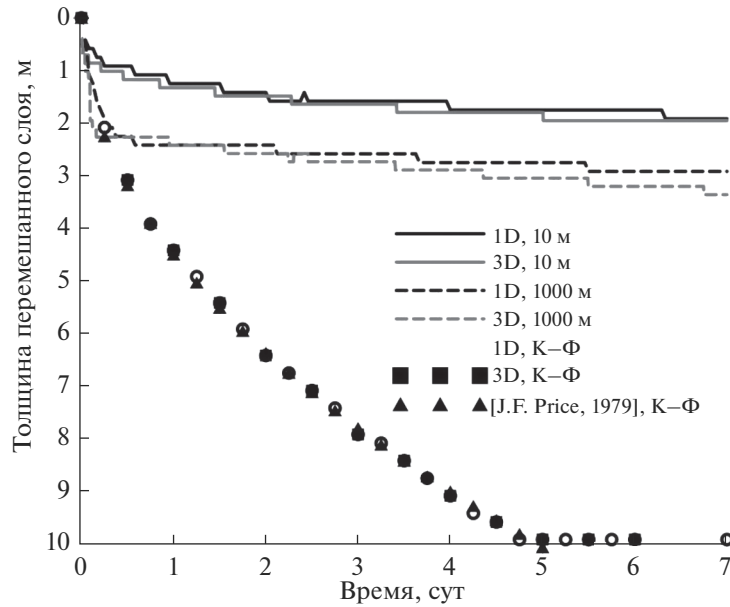


Рис. 2. Изменение толщины перемешанного слоя со временем при расчетах конечных водоемов и в классическом эксперименте Като–Филлипса.

мера водоема толщина перемешанного слоя также возрастает (рис. 2).

Важно отметить, что, насколько известно авторам, лабораторного эксперимента для подобных условий не проводилось, и эмпирическая оценка, аналогичная (19), отсутствует; поэтому в качестве “эталонного” результата в данном случае авторы полагают возможным считать результат, полученный трехмерной гидростатической моделью. Одномерная модель демонстрирует хорошее согласие с трехмерной: параметризация горизонтального градиента давления и вязкости позволяет реалистично воспроизвести толщину перемешанного слоя. Глубина перемешанного слоя h_{ML} существенно зависит от горизонтальных размеров водоема, и чем больше водоем, тем ближе она становится к результату классического эксперимента Като–Филлипса, где вертикальные стенки отсутствуют. Ограничение h_{ML} при наличии вертикальных стенок объясняется тем, что в водоеме в этом случае возникает градиент гидростатического давления, действующий противоположно потоку импульса из атмосферы. Это приводит к установлению квазистационарной циркуляции в перемешанном слое. В бесконечном по горизонтали слое воды (эксперимент Като–Филлипса) горизонтальный градиент давления не возникает, поток импульса из атмосферы приводит к монотонному и неограниченному увеличению максимальной скорости в перемешанном слое, что, в свою очередь, способствует быстрому росту h_{ML} .

ВЕРТИКАЛЬНАЯ СТРУКТУРА ТЕЧЕНИЯ

В численных экспериментах для прямоугольных водоемов с различными горизонтальными размерами проведен также анализ вертикального распределения температуры, скорости течения и коэффициента турбулентной вязкости. Продолжительность численных экспериментов составила 30 дней, остальные параметры расчетов описаны выше. Сравнения между одномерной и трехмерными моделями проводились на 7-й и 30-й дни расчетов.

Сопоставлены профили вертикального распределения температуры (рис. 3).

Продemonстрировано хорошее согласие между моделями на временных масштабах в несколько дней. Различия между результатами, полученными с помощью рассмотренных в работе моделей, для больших временных интервалов (≥ 30 дней) для водоема длиной 1000 м могут быть связаны с особенностями моделей: напомним, что одномерная модель построена на осреднении трехмерных уравнений, а параметризация градиента давления учитывает сейши только первой горизонтальной моды. Примечательно при этом, что для водоема длиной 10 м на 30-й день две модели дают практически идентичные профили температуры.

Это позволяет предположить, что в трехмерной модели доля кинетической энергии гармоник с волновым номером >1 в общей кинетической энергии больше для водоема длиной 1000 м, чем для водоема длиной 10 м.

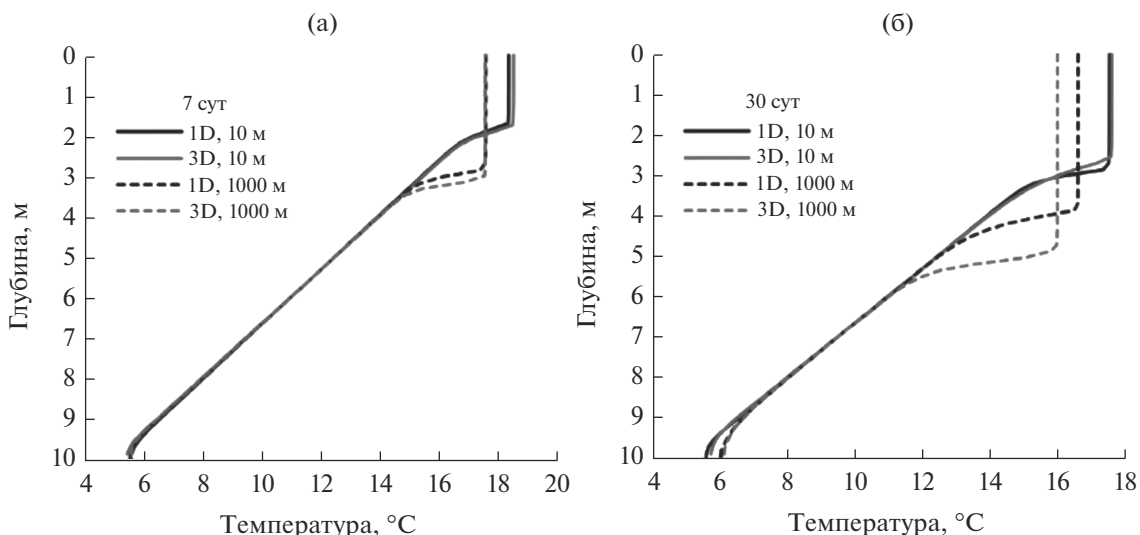


Рис. 3. Вертикальное распределение температуры на 7-й (а), на 30-й (б) дни расчета по одномерной и трехмерной моделям.

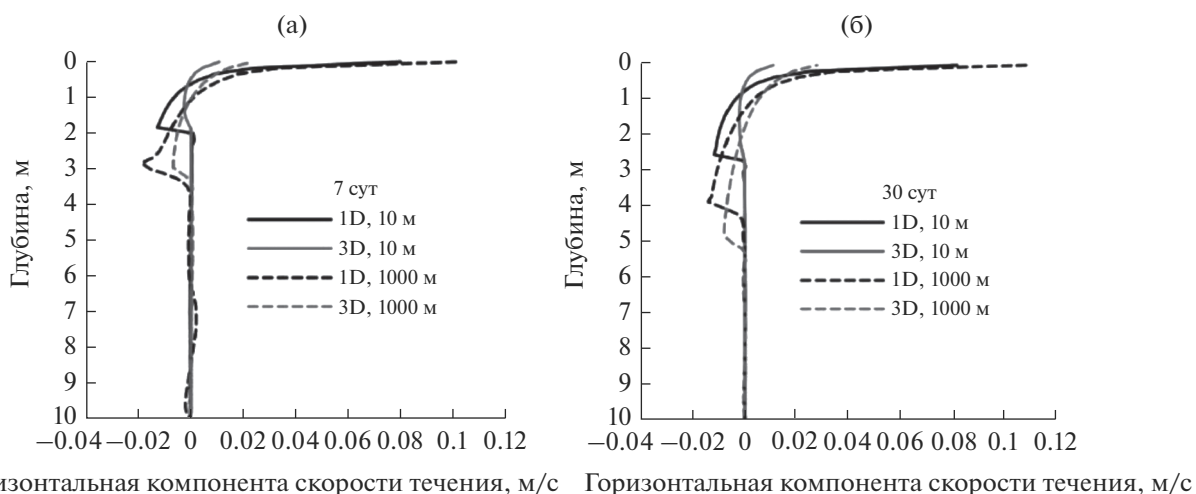


Рис. 4. Вертикальное распределение горизонтальной скорости на 7-й (а), на 30-й (б) дни расчета.

Таким образом, первая горизонтальная мода, параметризованная в одномерной модели, хуже описывает поле скорости для водоема длиной 1000 м, чем для водоема длиной 10 м, что приводит к менее точному воспроизведению вертикального турбулентного обмена и скорости заглубления перемешанного слоя.

Отметим, что результаты обсуждаемых численных экспериментов для временного масштаба за пределами 7–10 дней представляют сугубо теоретический интерес. Дело в том, что в постановке эксперимента поток импульса из атмосферы, определяемый ветром, имеет постоянные скорость и направление в течение всего времени расчета. В природе подобной ситуации не бывает.

Во-первых, статистически значим суточный ход ветра: как правило, ветер сильнее днем и слабее ночью. Во-вторых, изменения ветра синоптического временного масштаба связаны с прохождением циклонов и антициклонов, время жизни которых составляет, как правило, 7–10 дней; так что для небольших временных масштабов (не более нескольких дней) в крайне редких случаях возможна ветровая обстановка, подобная заданной в эксперименте.

Помимо распределения температуры воды, проанализировано также вертикальное распределение скорости течения (рис. 4).

В профилях скорости течений в нижней части перемешанного слоя наблюдаются противопо-

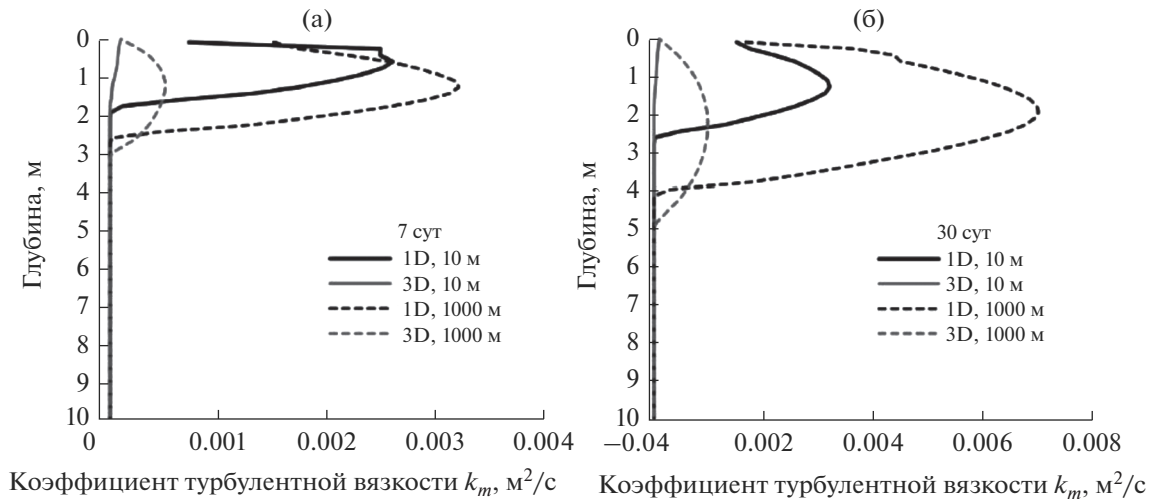


Рис. 5. Вертикальное распределение коэффициента турбулентной вязкости на 7-й (а), на 30-й (б) день расчета.

ложные направления градиента давления и скорости ветра, а сама структура течения квази-стационарная. В термоклине наблюдаются гравитационные колебания, амплитуда которых подавляется горизонтальной вязкостью.

Профили коэффициента турбулентной вязкости (рис. 5) показывают, что ее значения в перемешанном слое в одномерной модели намного больше, чем в трехмерной. Это можно объяснить следующим механизмом: в обеих моделях трение между противоположно направленными верхним и нижним течениями существует вследствие вертикальной турбулентной вязкости, но в трехмерной модели воспроизводятся также вертикальные “ветви” циркуляционной ячейки, роль которых заключается в переносе импульса между верхней и нижней границами перемешанного слоя. Это способствует уменьшению разности скорости течений в трехмерной модели, так что в одномерной модели сдвиг скорости оказывается сильнее. В соответствии с формулой (10) в одномерной модели больше оказывается и генерация турбулентной кинетической энергии, что и приводит к завышению коэффициента турбулентной вязкости. В связи с этим при описании, например, турбулентного переноса фитопланктона и парниковых газов по вертикали в перемешанном слое результаты одномерной модели могут содержать заметные ошибки, и этот аспект требует дальнейших исследований.

ЗАКЛЮЧЕНИЕ

По результатам настоящего исследования можно заключить, что горизонтальные размеры водоемов оказывают существенное влияние на глубину верхнего перемешанного слоя и с увеличением размера водоема увеличивается скорость

заглубления термоклина. Подтверждена необходимость учета сейшевых колебаний для корректного описания динамики перемешивания в водоемах с горизонтальными размерами намного меньшими, чем радиус деформации Россби. Предложенная В.М. Степаненко параметризация градиента давления и горизонтальной вязкости для одномерной модели LAKE позволяет с достаточной точностью воспроизводить толщину перемешанного слоя. При этом важно отметить, что одномерная модель завышает значения скорости течений, а в связи с этим — и значения коэффициента турбулентной вязкости. Авторы планируют исследовать, насколько данный факт будет влиять на корректность расчетов при моделировании, в частности, процессов переноса фитопланктона и парниковых газов в реальных водных объектах.

СПИСОК ЛИТЕРАТУРЫ

1. Астраханцев Г.П., Менишуткин В.В., Петрова Н.А., Руховец Л.А. Математическое моделирование крупных стратифицированных озер. СПб.: Наука, 2003. С. 320.
2. Володин Е.М., Дианский Н.А., Гусев А.В. Модель земной системы INMCM4: воспроизведение и прогноз климатических изменений в 19–21 веках с помощью модели земной климатической системы ИВМ РАН // Изв. РАН. Физика атмосферы и океана. 2013. Т. 49. № 4. С. 379–390.
3. Горбунов М.Ю. Вертикальное распределение бактериохлофиллов в гумозных озерах Волжско-Камского заповедника (Республика Татарстан) // Поволжский экол. журн. 2011. № 3. С. 280–293.
4. Дианский Н.А., Фомин В.В., Выручалкина Т.Ю., Гусев А.В. Воспроизведение циркуляции Каспийского моря с расчетом атмосферного воздействия с

- помощью модели WRF // Тр. КарНЦ РАН. Сер. Лимнология. 2016. № 5. С. 21–34.
5. Иванов П.В. Классификация озер по величине и по их средней глубине // Бюл. ЛГУ. 1948. № 21. С. 29–36.
 6. Козицкая В.Н. Влияние экологических факторов (освещение, температура) на рост водорослей // Гидробиол. журн. 1989. № 6. С. 55–70.
 7. Крейман К.Д., Голосов С.Д., Сквородов Е.П. Влияние турбулентного перемешивания на фитопланктон // Вод. ресурсы. 1992. № 3. С. 92–97.
 8. Лыкосов В.Н. О проблеме замыкания моделей турбулентного пограничного слоя с помощью уравнений для кинетической энергии турбулентности и скорости ее диссипации // Изв. АН СССР. Физика атмосферы и океана. 1992. № 28. С. 696–704.
 9. Степаненко В.М. Математическое моделирование теплового режима и динамики парниковых газов в водоемах суши. Дис. ... докт. физ.-мат. наук. М.: МГУ, 2018. 361 с.
 10. Степаненко В.М. Параметризация сейш для одномерной модели водоема // Тр. МФТИ. 2018. Т. 10. № 1. С. 97–111.
 11. Степаненко В.М. Численное моделирование взаимодействия атмосферы с водоемами суши. Дис. ... канд. физ.-мат. наук. М.: МГУ, 2007. 159 с.
 12. Эдельштейн К.К. Структурная гидрология суши. М.: Геос, 2005. 316 с.
 13. Abbasi A., Annor F.O., Giesen N.V. Investigation of temperature dynamics in small and shallow reservoirs, case study: Lake Binaba, Upper East Region of Ghana // Water. 2016. V. 8. № 3. P. 84.
 14. Burchard H. Applied turbulence modelling in marine waters. Berlin: Springer-Verlag Berlin Heidelberg, 2002. 218 p.
 15. Burchard H., Bolding K. Comparative analysis of four second-moment turbulence closure models for the oceanic mixed layer // J. Phys. Oceanogr. 2001. V. 31. P. 1943–1968.
 16. Downing J.A., Prairie Y.T., Cole J., Duarte C.M. The global abundance and size distribution of lakes, ponds, and impoundments // Limnol. Oceanogr. 2006. V. 51. № 5. P. 2388–2397.
 17. Kato H., Phillips O.M. On the penetration of a turbulent layer into stratified fluid // J. Fluid Mech. 1969. V. 37. № 4. P. 643.
 18. Kelley J.G.W., Hobgood J.S.K., Bedford W., Schwab D.J. Generation of three-dimensional lake model forecasts for lake Erie // Wea. Forecast. 1998. № 13. P. 659–687.
 19. Marchenko A.V., Morozov E.G. Seiche oscillations in Lake Valunden (Spitsbergen) // Russ. J. Earth. Sci. 2016. V. 16. № 2. P. 22.
 20. Mellor C. L., Yamada T. A hierarchy of turbulence closure models for planetary boundary layers // J. Atmos. Sci. 1974. № 31. P. 1791–1806.
 21. Messenger M.L., Lehner B., Grill G., Nedeva I., Schmitt O. Estimating the volume and age of water stored in global lakes using a geo-statistical approach // Nat. Commun. 2016. № 7. P. 13603.
 22. Mortikov E.V., Glazunov A.V., Lykosov V.N. Numerical study of plane Couette flow: turbulence statistics and the structure of pressure-strain correlations // Russian J. Numerical Analysis and Math. Modelling. 2019. V. 34. № 2. P. 1–14.
 23. Mortikov E.V. Numerical simulation of the motion of an ice keel in stratified flow // Izv. Atmos. Ocean. Phys. 2016. V. 52. № 1. P. 108–115.
 24. Price J.F. On the scaling of stress-driven entrainment experiments // J. Fluid Mechanics. 1979. V. 90. № 4. P. 509.
 25. Roget E., Khimchenko E., Forcat F., Zavialov P. The internal seiche field in the changing South Aral Sea (2006–2013) // Hydrol. Earth System Sci. 2017. V. 21. № 2. P. 1093–1105.
 26. Stepanenko V., Mammarella I., Ojala A., Miettinen H., Lykosov V., Vesala T. LAKE 2.0: a model for temperature, methane, carbon dioxide and oxygen dynamics in lakes // Geosci. Model Dev. 2016. V. 9. P. 1977–2006.
 27. Stepanenko V., Klaus D., Jöhnk K.D., Machulskaya E., Perroud M., Subin Z., Nordbo A., Mammarella I., Mironov D. Simulation of surface energy fluxes and stratification of a small boreal lake by a set of one-dimensional models // Tellus. Ser. A. Dynamic Meteorol. Oceanography. 2014. V. 66. P. 21389.
 28. Tranvik L.J., Downing J.A., Cotner J.B. et al. Lakes and reservoirs as regulators of carbon cycling and climate // Limnol. Oceanography. 2009. № 54. P. 2298–2314.